

# **CC222 – Visão Computacional**

## **Clustering**

**Instituto Tecnológico de Aeronáutica**

**Prof. Carlos Henrique Q. Forster – Sala 121 IEC**

**[forster@ita.br](mailto:forster@ita.br)**

**ramal 5981**

## **Tópicos da aula**

- Transformada de Hough
- Clustering de formas
- Hashing geométrico

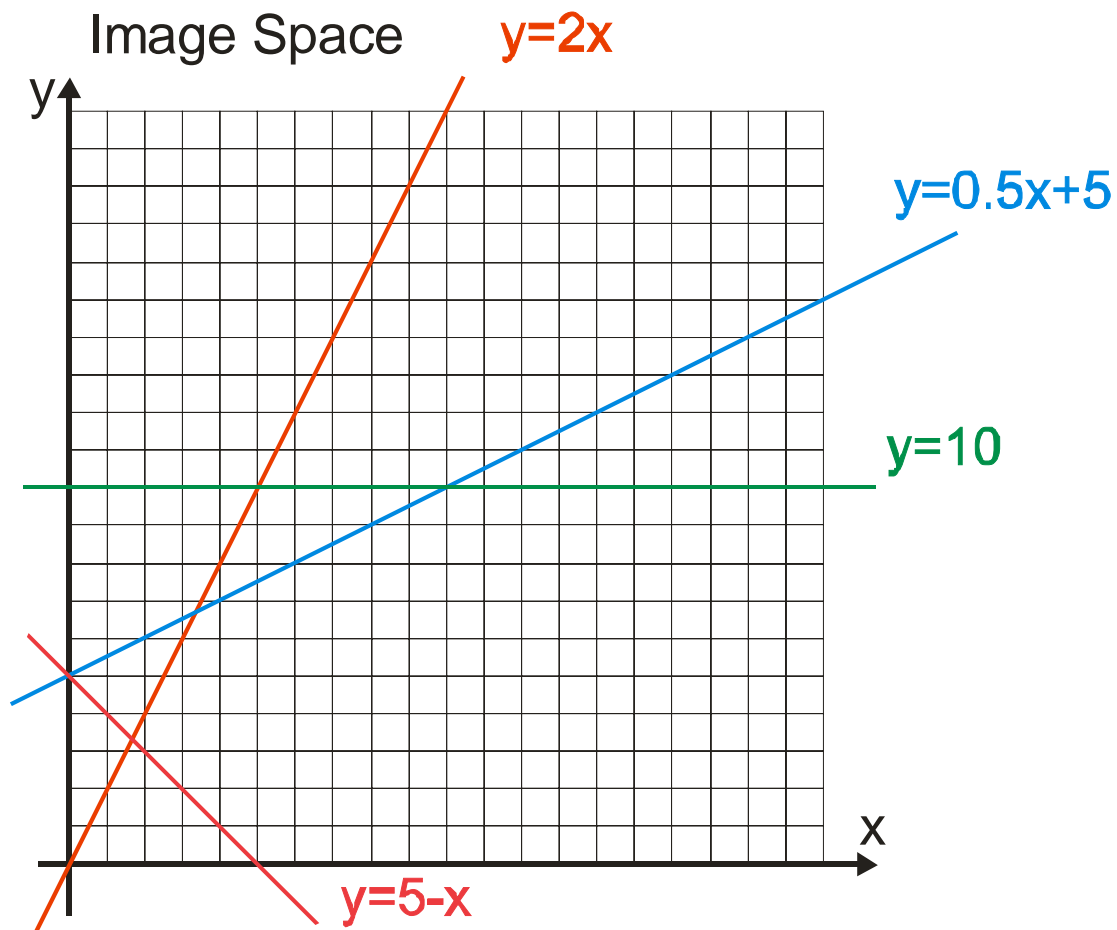
## **Livro para acompanhar essa aula**

Gonzalez e Woods

Shapiro e Stockman

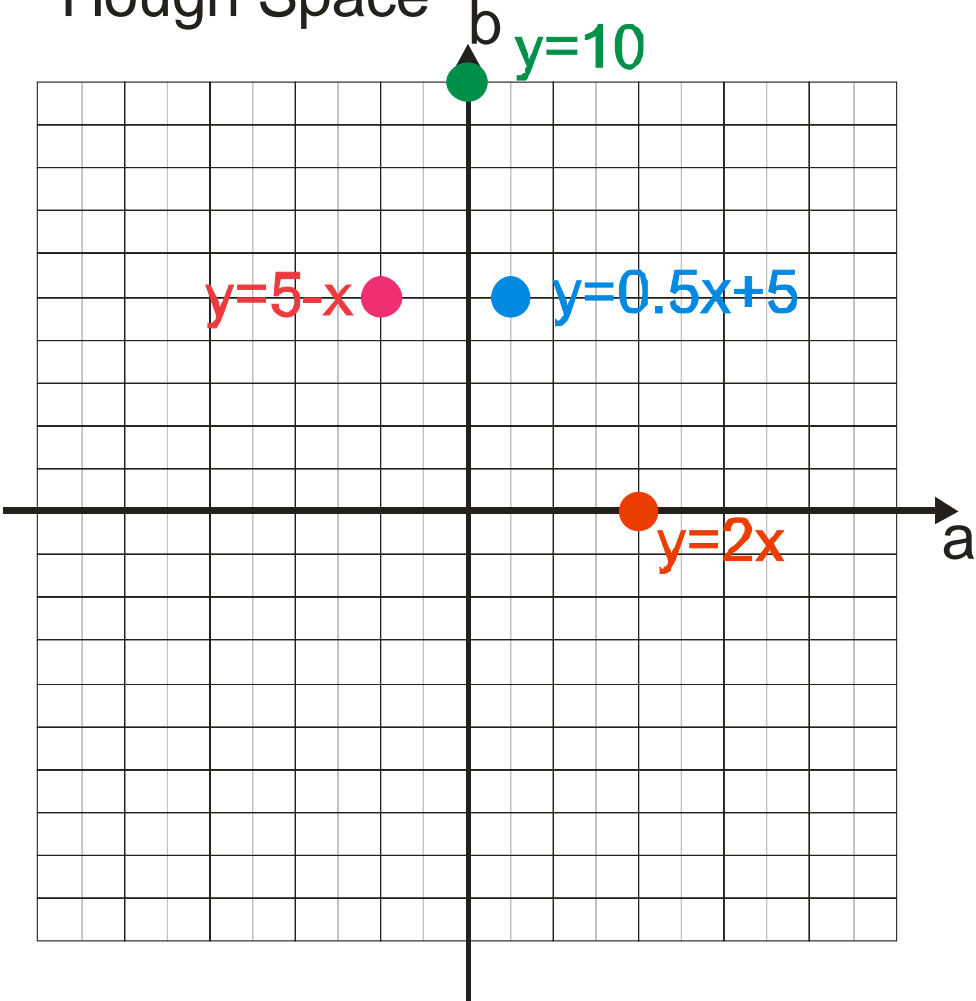
# Transformada de Hough

Parametização da reta  $y = ax + b$

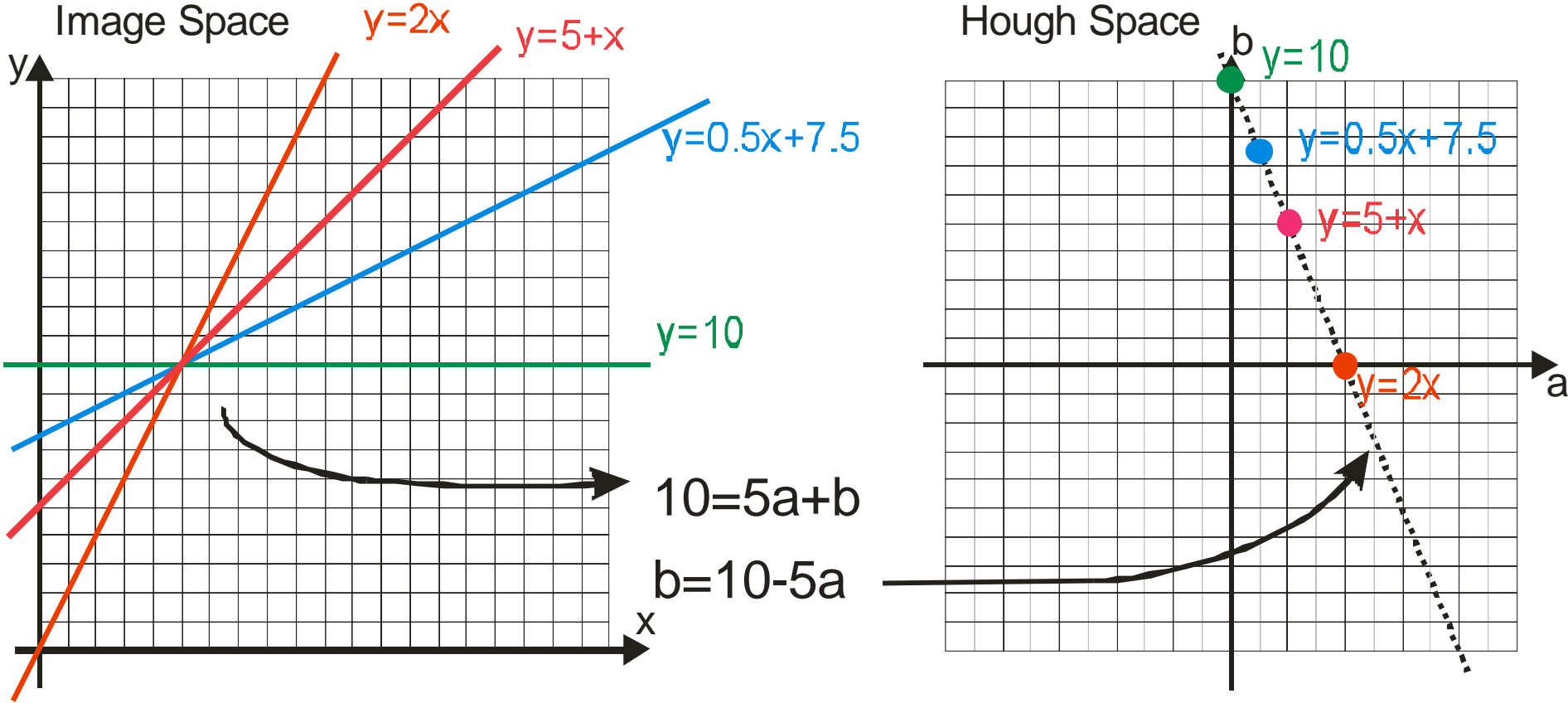


Retas no espaço de Hough (espaço de parâmetros)

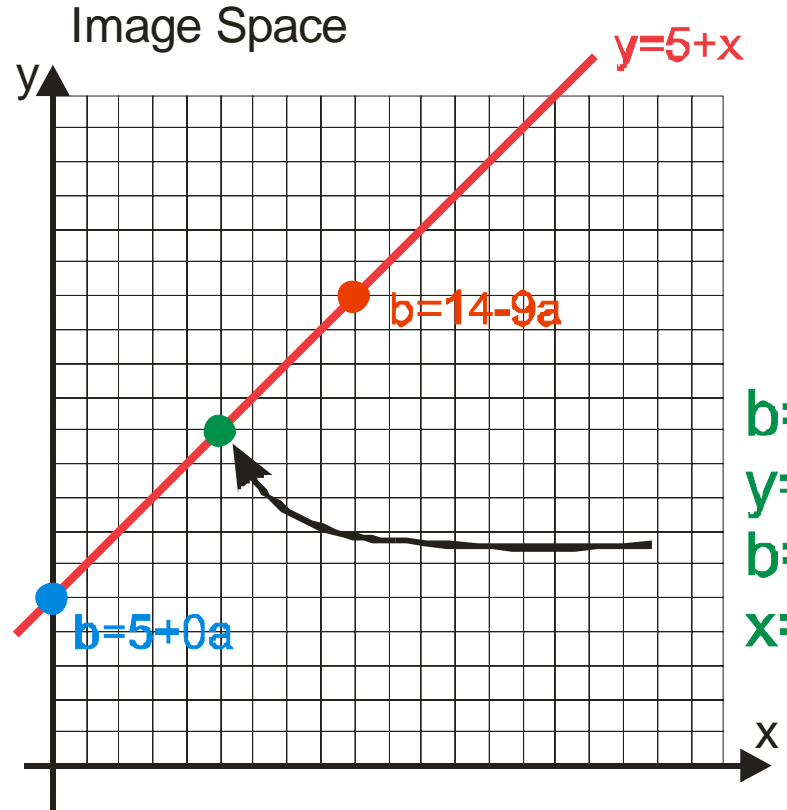
Hough Space



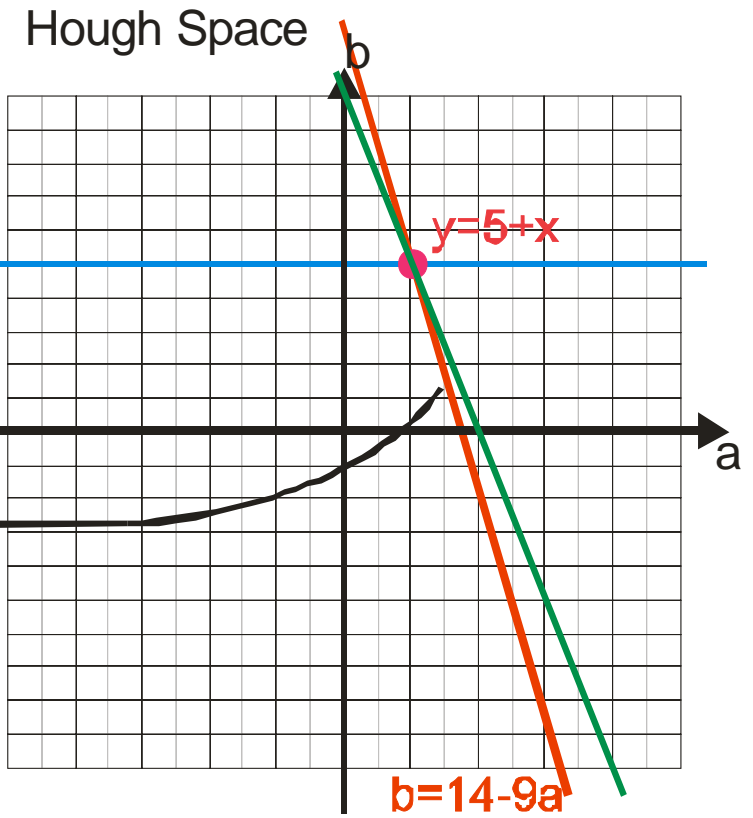
Todas as retas que passam por um ponto



Dual: pontos pertencentes a uma reta



$b=10-5a$   
 $y=ax+b$   
 $b=y-ax$   
 $x=5; y=10$



Matriz de acumulação de Hough

Para cada ponto encontrado na imagem

- Determinar os parâmetros da reta no espaço de Hough

- Adicionar “um” a cada célula da matriz de acumulação por que passa a reta

Selecionar as células com mais pontos acumulados

Para cada célula selecionada

- Identificar os parâmetros da reta sobre a imagem

- Verificar na imagem os segmentos de reta encontrados

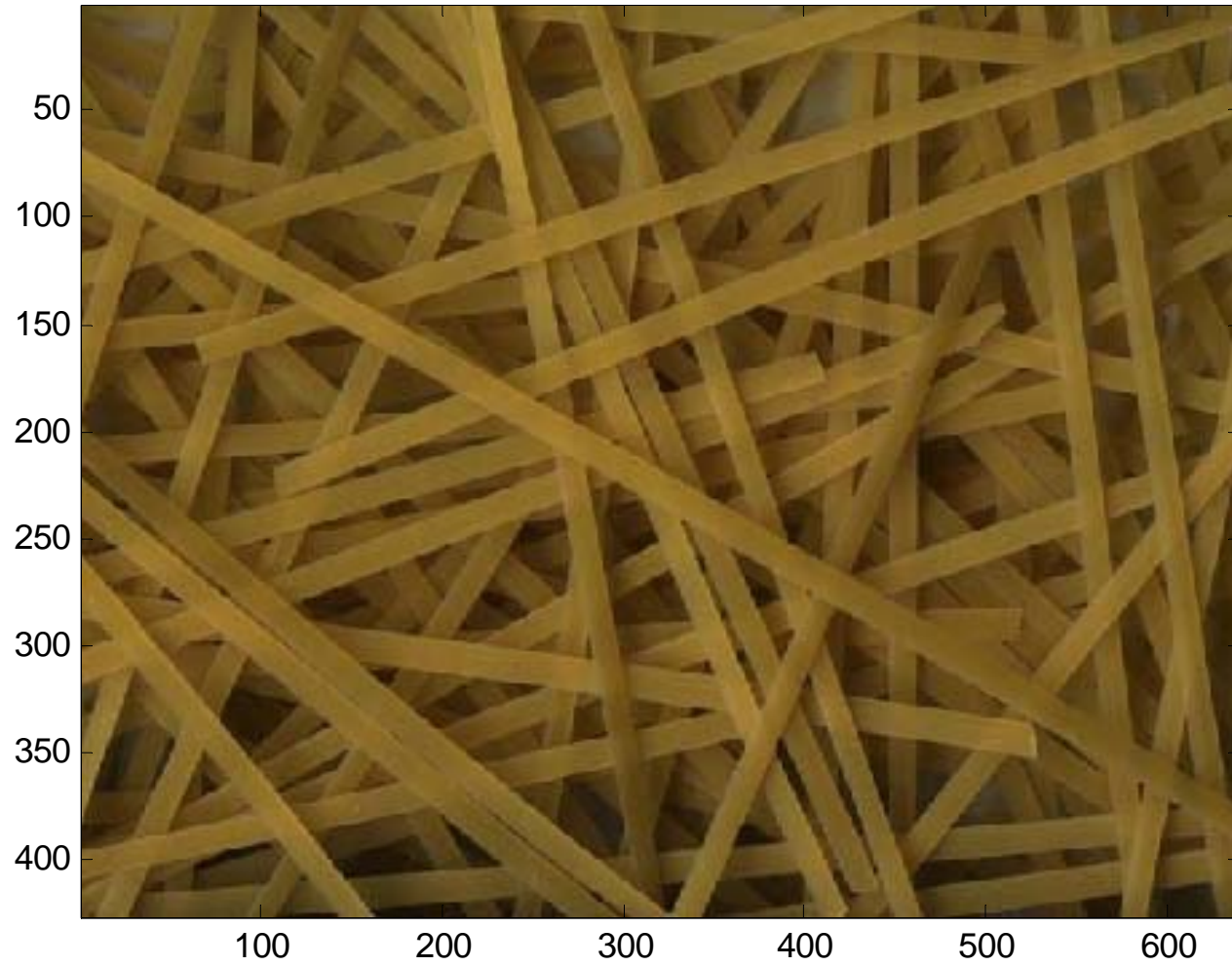
Parametrização polar

$$x \cos \theta + y \sin \theta = \rho$$

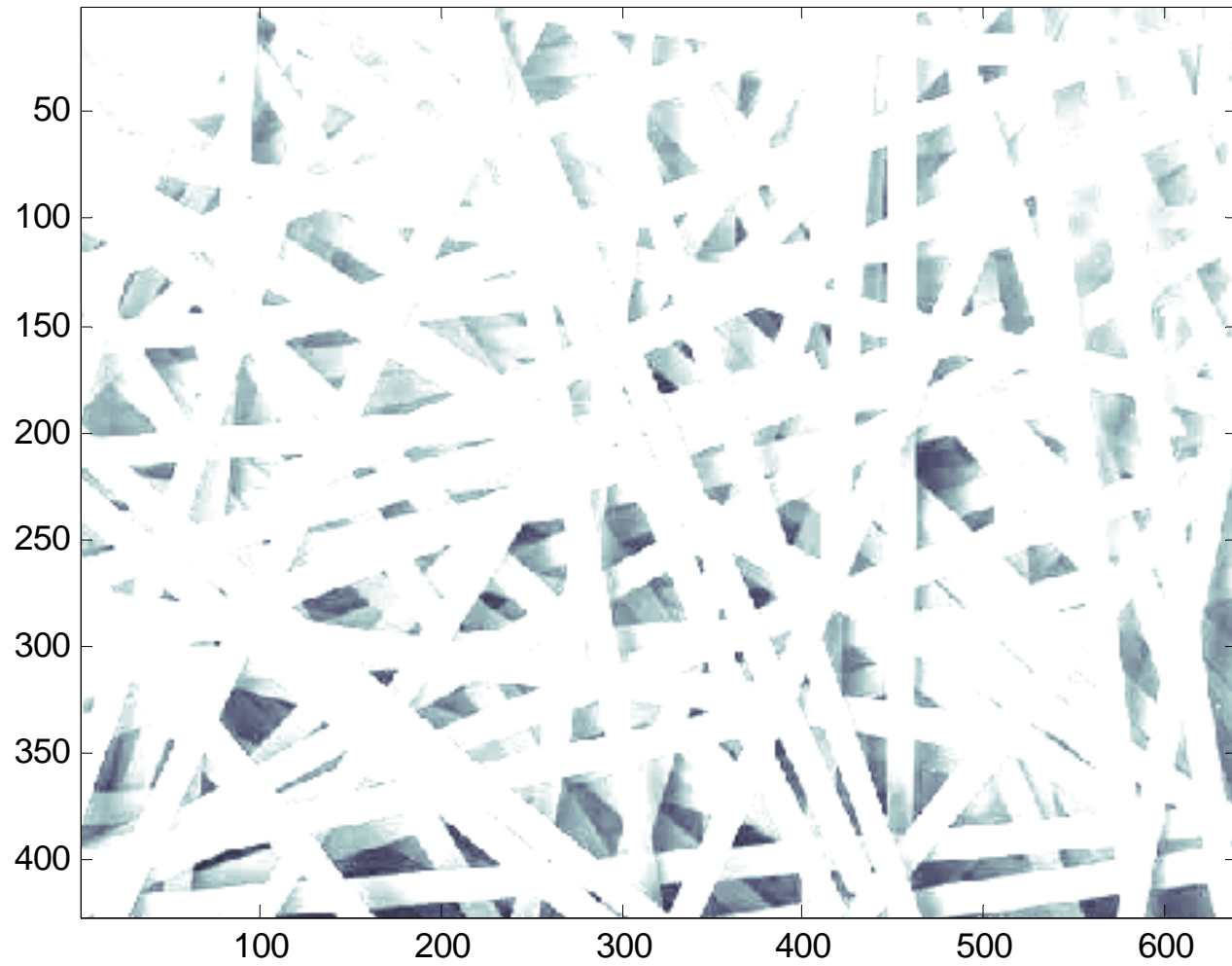
Cada ponto  $x,y$  corresponde a uma linha sinusoidal em função de  $\theta$  no espaço de Hough. Intersecções dessas linhas sinusoidais correspondem aos parâmetros das retas que passam pelos pontos  $x,y$ .

Exemplo

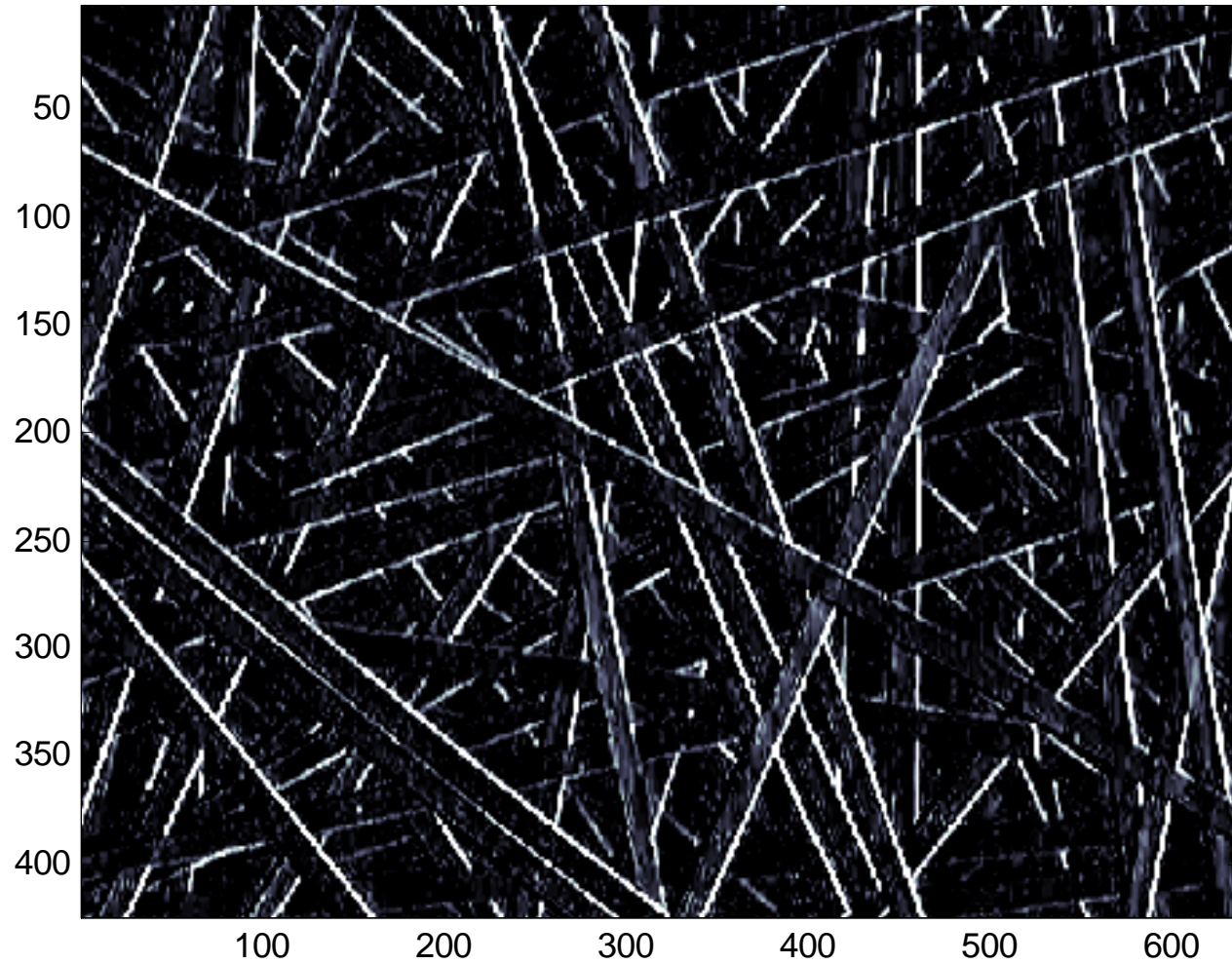
Image original



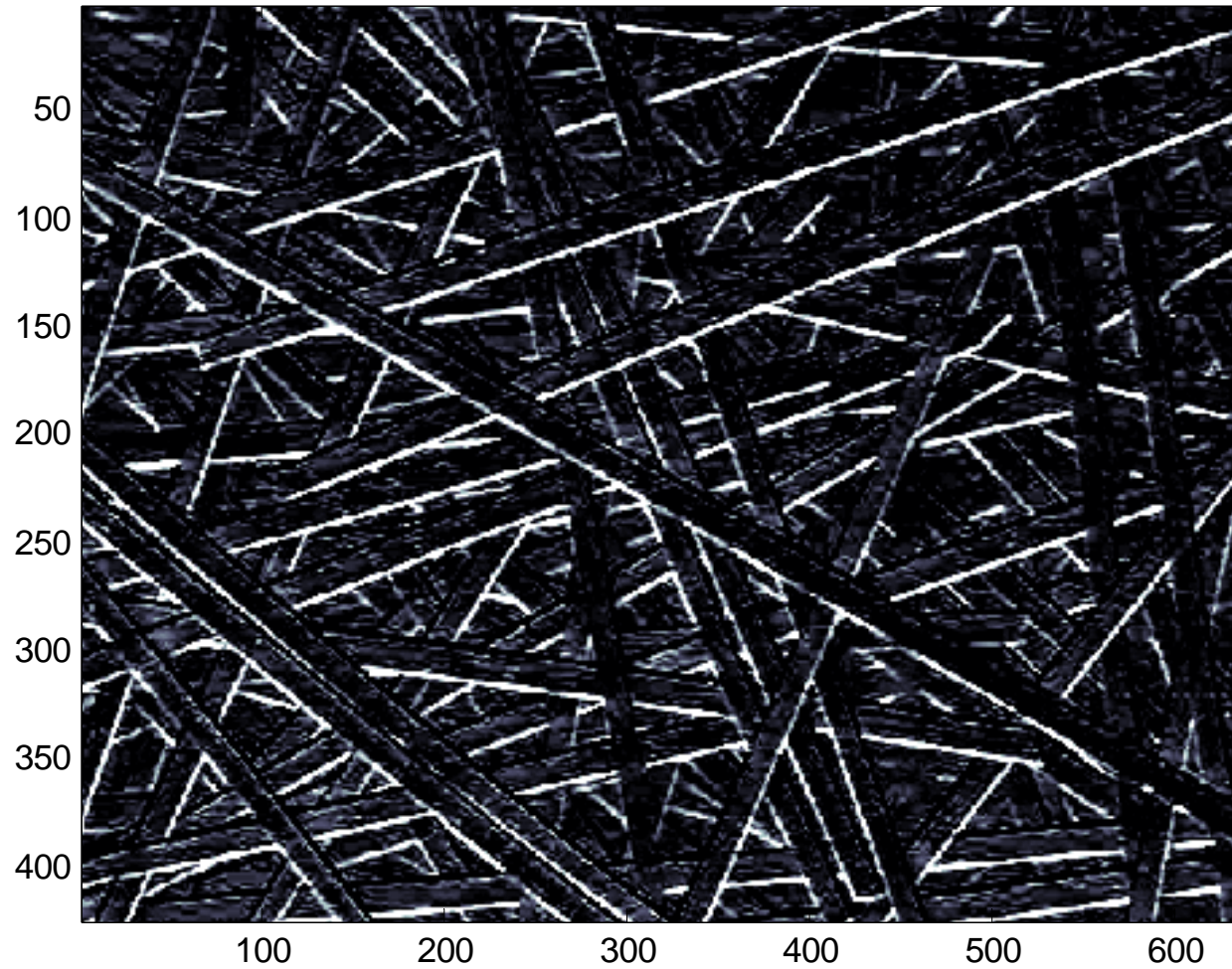
Canal verde extraído



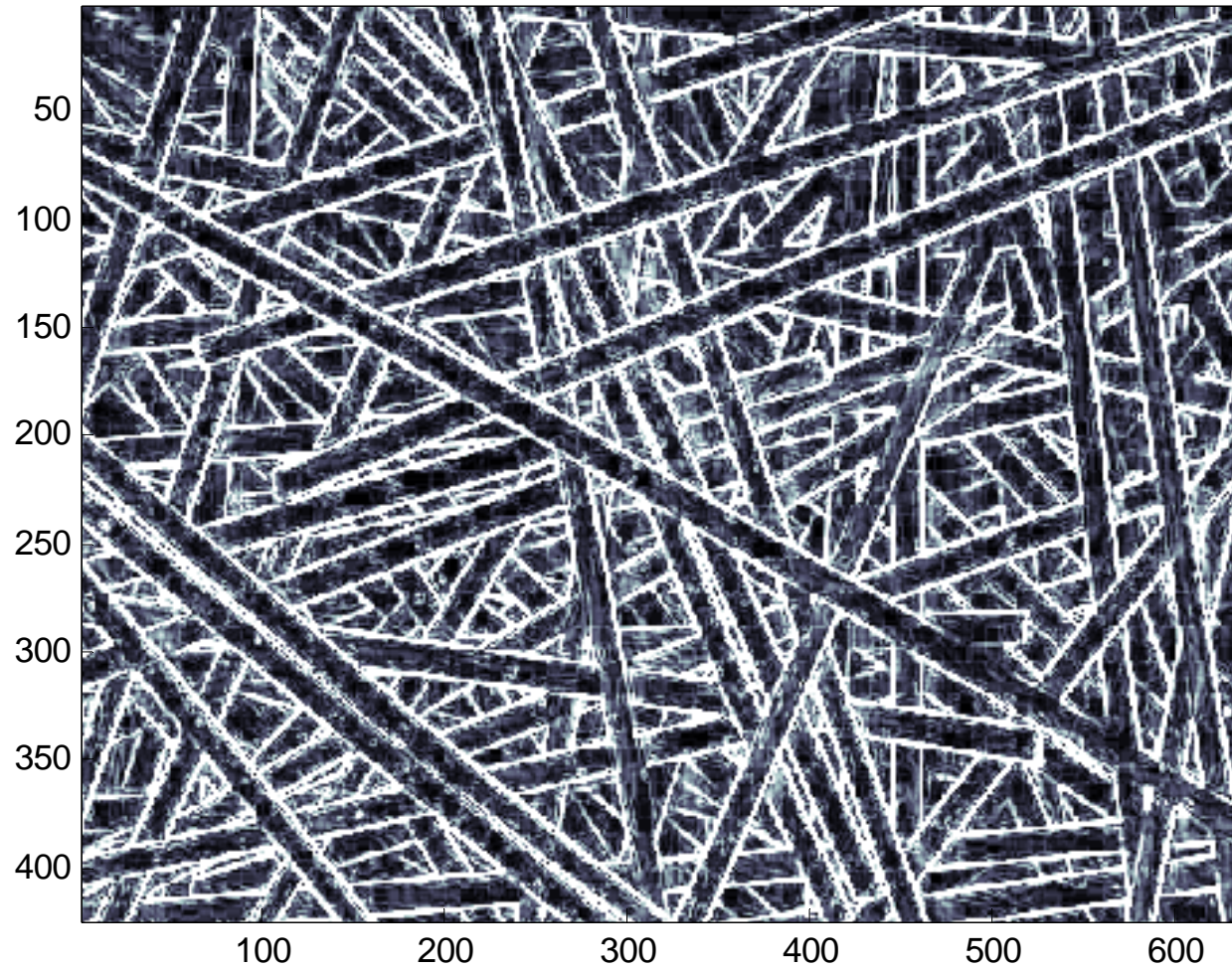
Gradiente em x



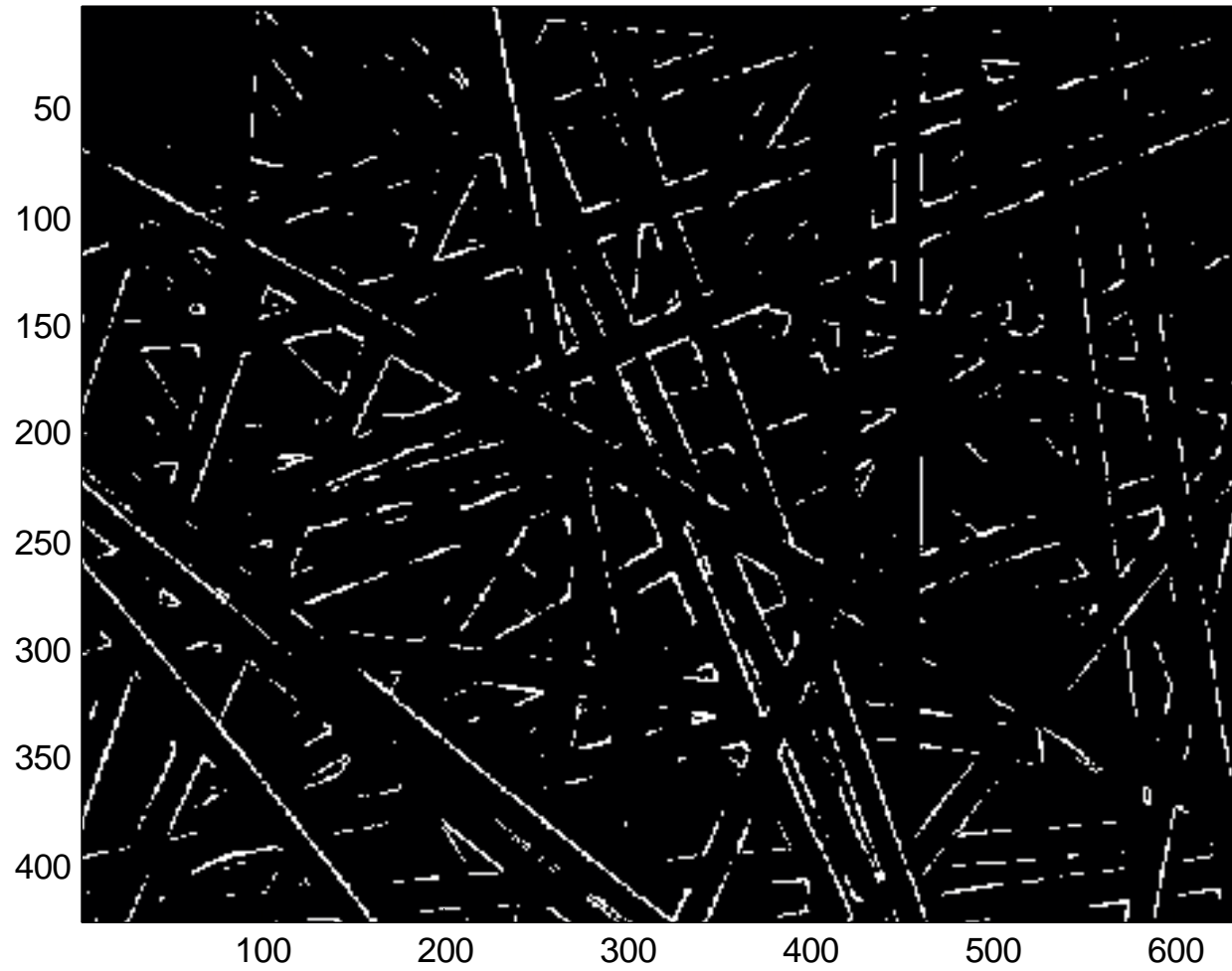
Gradiente em y

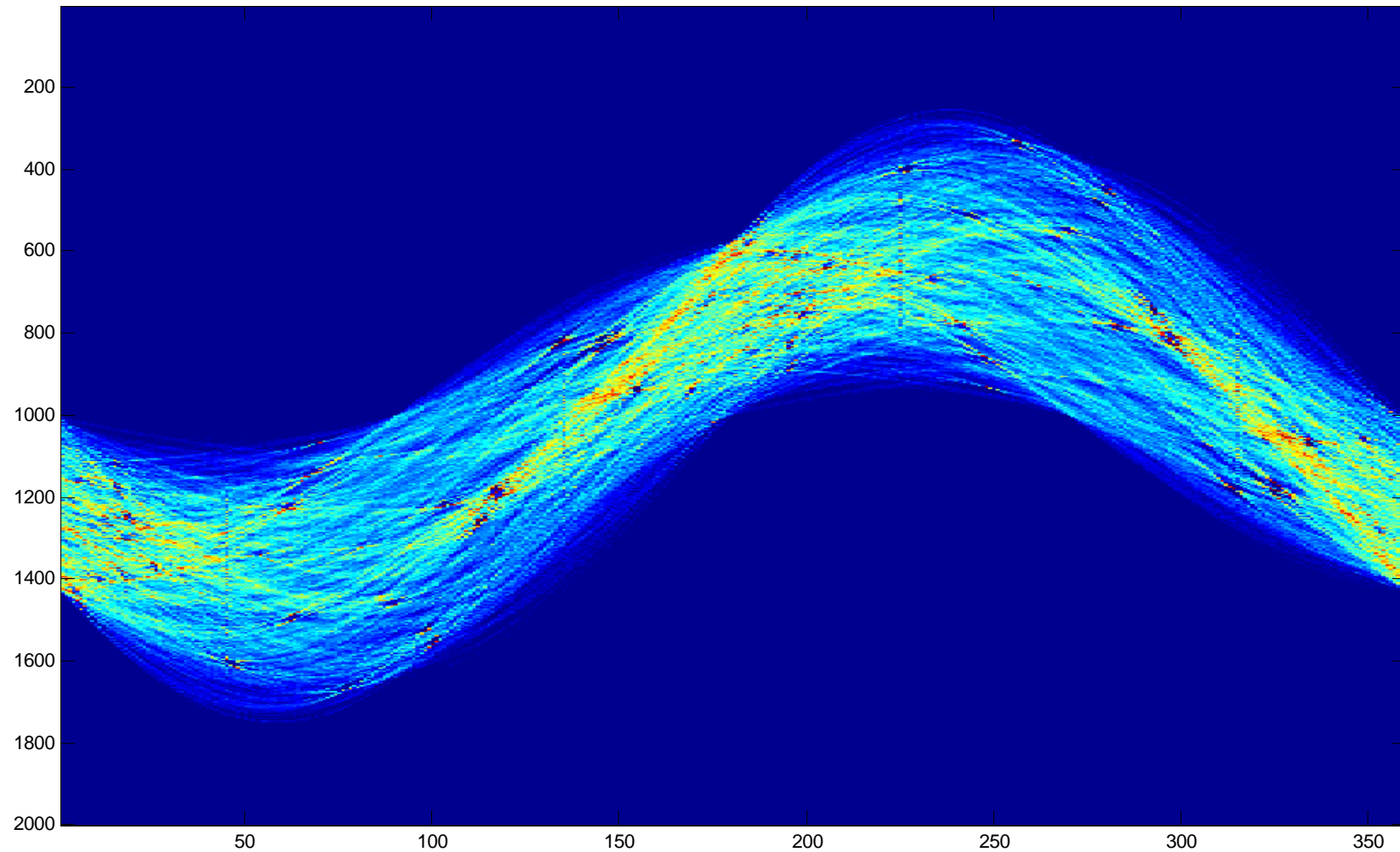


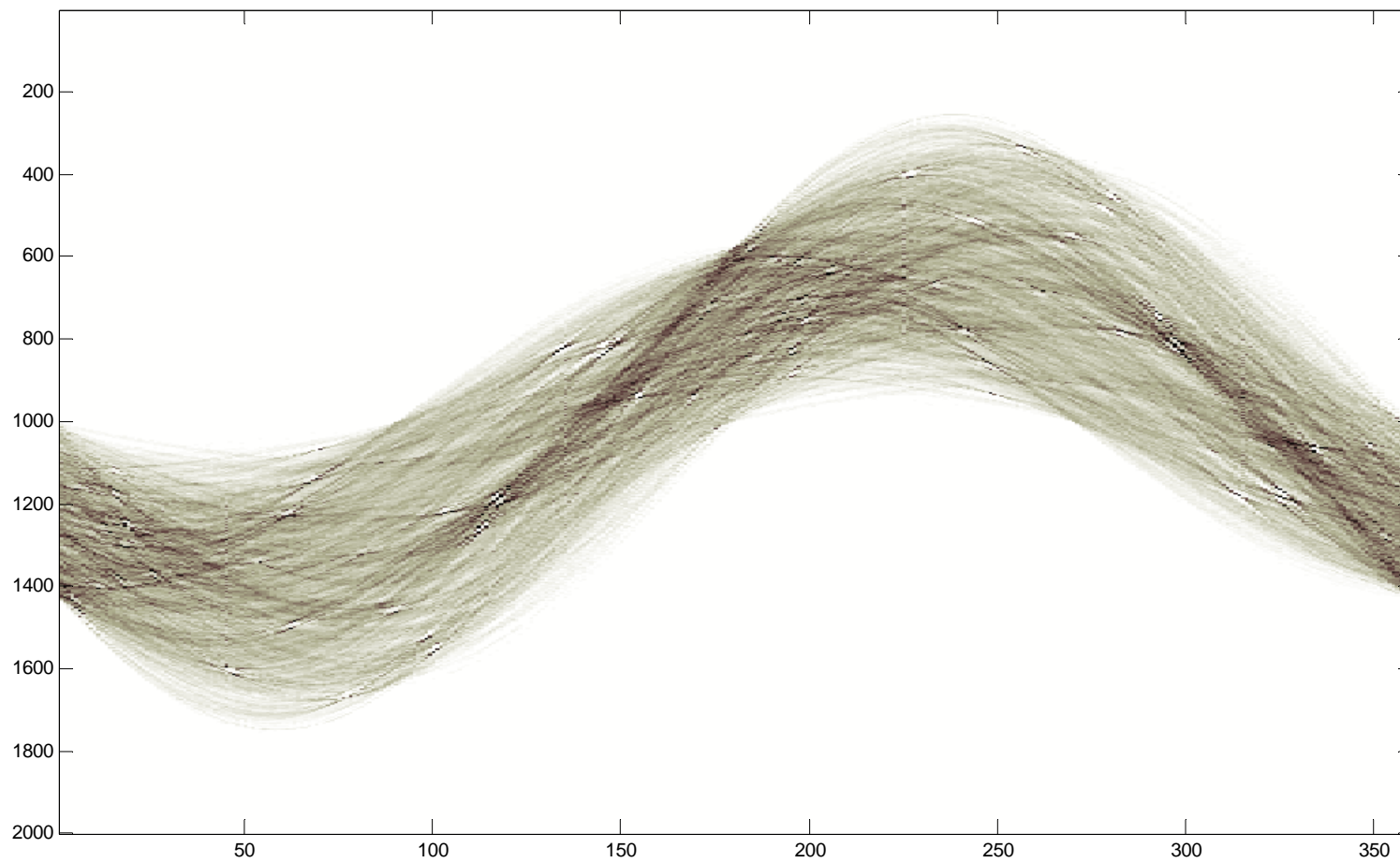
Gradiente L1

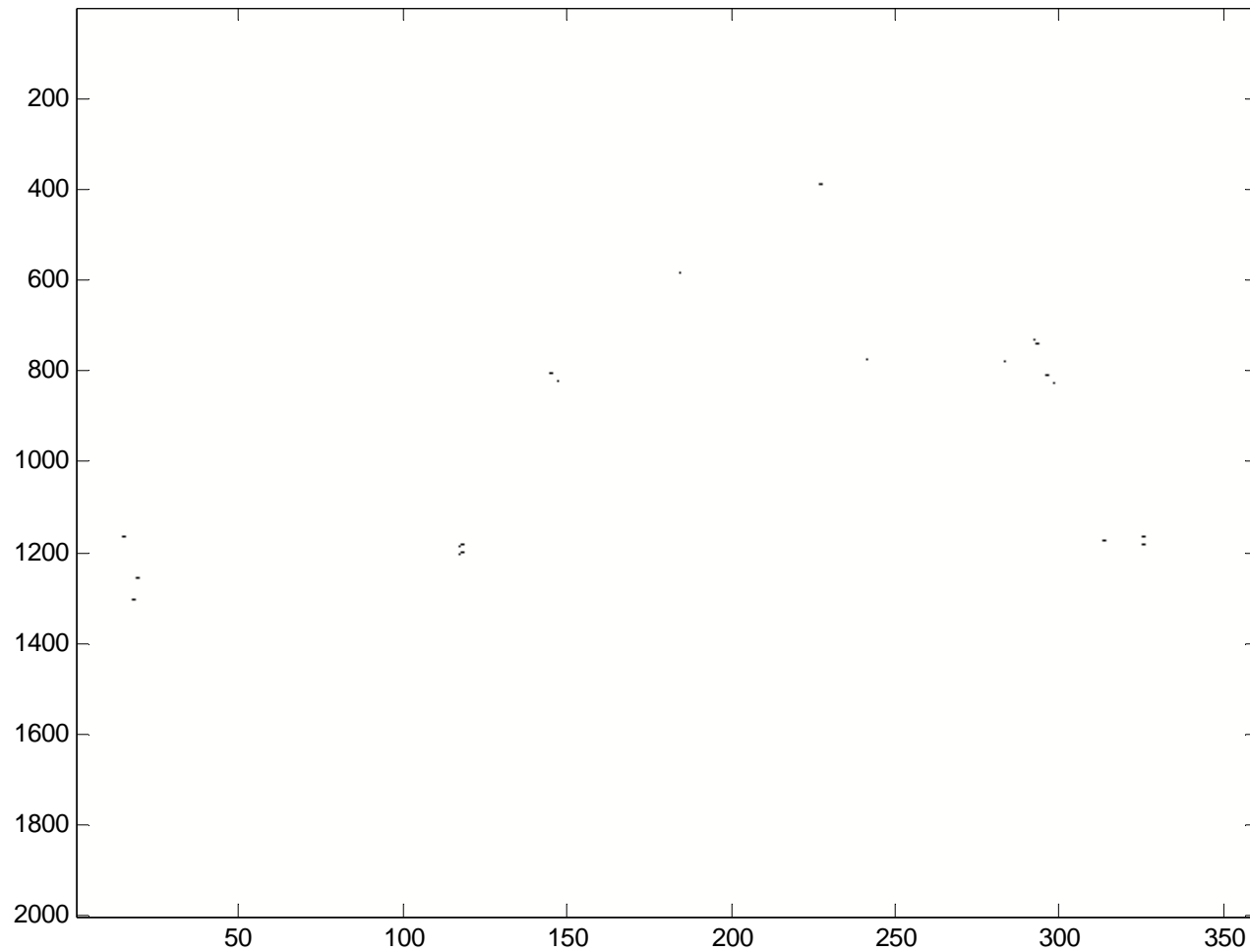


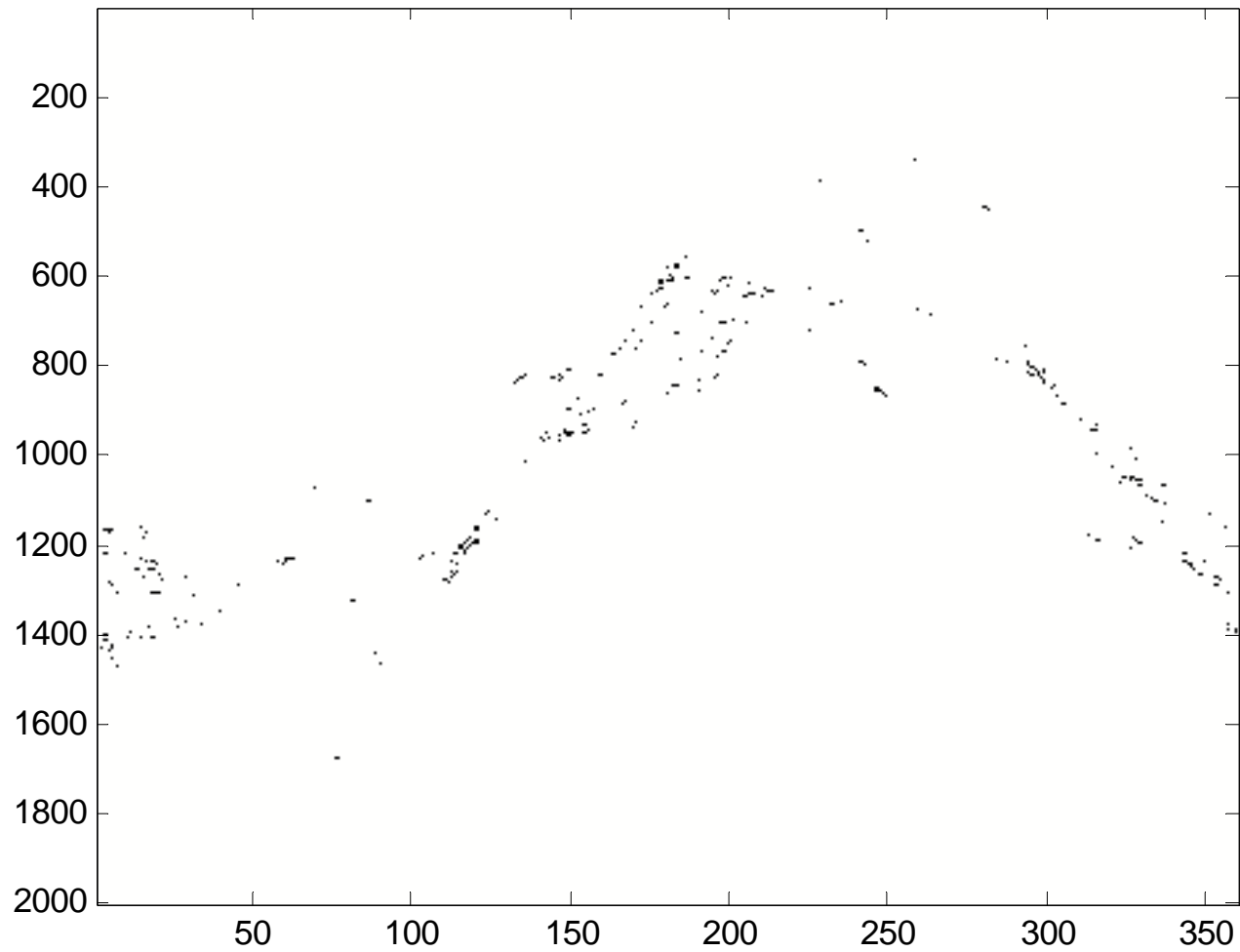
Pontos selecionados











```
function h=houghlines(imgname)

% parameter: imgname

img=imread(imgname);
g=img(:,:,2);
figure; image(img); title('Image original');
figure; colormap(bone); image(g); title('Canal verde extraido');
sobel=[-1 0 1;-2 0 2;-1 0 1];
gradx=conv2(g,sobel,'valid');
grady=conv2(g,sobel,'valid');
figure; colormap(bone); image(gradx); title('Gradiente em x');
figure; colormap(bone); image(grady); title('Gradiente em y');
border=(abs(gradx)+abs(grady));
figure; colormap(bone); image(border); title('Gradiente L1');
border=(border>200)*255;
```

```
figure; colormap(bone); image(border); title('Pontos selecionados');
```

```
tsize=360;
```

```
rsize=2000;
```

```
h=zeros(rsize,tsize);
```

```
[height,width]=size(border);
```

```
for i=1:height
```

```
    for j=1:width
```

```
        if(border(i,j)>0) %para cada pixel de valor 1
```

```
            for t=1:tsize
```

```
                r=floor(i*cos(t*pi/180)+j*sin(t*pi/180));
```

```
                if(r<1000) & (r>-1000)
```

```
                    h(r+1000,t)=h(r+1000,t)+1;
```

```
                end
```

```
            end
```

```
    end  
  end  
end
```

```
figure; colormap(1-bone); image(255*h/max(max(h))); title('Hough');
```

Transformada de Hough para detecção de círculos

Utilizar a parametrização  $(x - x_0)^2 + (y - y_0)^2 = r^2$

Matriz tridimensional em função dos parâmetros  $x_0, y_0, r$

Cada  $r$  é uma imagem em que se procura os centros de circunferências de raio  $r$  que passam pelos pontos  $x, y$ . A posição desses centros está a uma distância  $r$  de  $x, y$ , portanto, formando uma circunferência de raio  $r$ .

Utilização da direção do gradiente

Cada ponto da imagem só contribui votos para circunferências centradas em algum ponto na direção do gradiente

Transformada probabilística amostrando pares de pontos

Para cada par de pontos considerar a mediatriz como possíveis posições de centros de circunferências. As direções do gradiente podem ajudar a descartar pares não consistentes.

## Hashing Geométrico

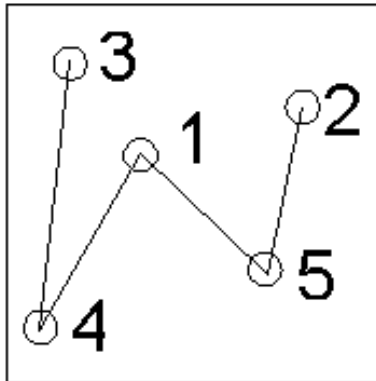
A construção da tabela *hash* ocorre numa fase *off-line* e todas possíveis combinações de feições contribuem com itens a adicionar na tabela. Escolhendo-se três pontos  $e_0, e_1, e_2$  para formar uma base, todos pontos do plano podem ser representados da forma  $e_0 + \kappa(e_1 - e_0) + \lambda(e_2 - e_0)$ , o plano  $(\kappa, \lambda)$  é quantizado numa tabela bidimensional com par de índices inteiros  $(k, l)$ .

Sejam  $N$  conjuntos de pontos alvos  $B_i$ . Para cada conjuntos de pontos alvos, faz-se o seguinte. Para cada três pontos não colineares  $e_0, e_1, e_2$ , do conjunto de pontos, expresse os demais pontos da forma  $e_0 + \kappa(e_1 - e_0) + \lambda(e_2 - e_0)$  e adicione a tupla  $(i, e_0, e_1, e_2)$  a entrada  $(k, l)$  da tabela. Para  $O(m)$  pontos em cada conjunto  $B_i$ , a construção da tabela *hash* tem complexidade  $O(Nm^4)$ .

## Referência à tabela

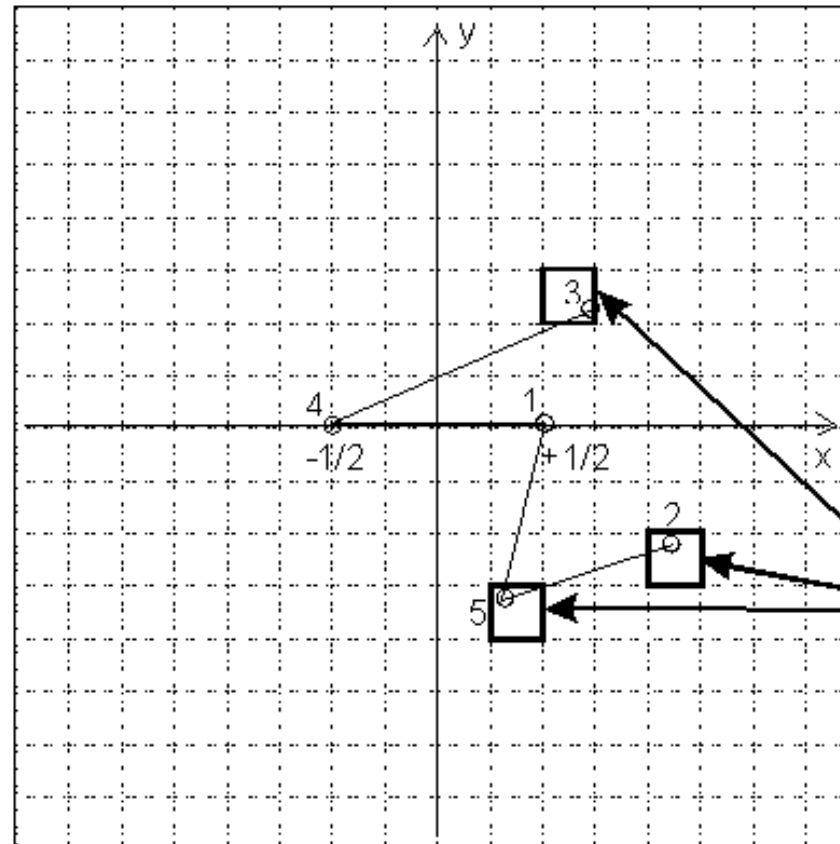
A tabela é indexada *on-line* de forma muito eficiente. Dado um conjunto de pontos  $A$ , que se deseja identificar e determinar a transformação afim, escolhem-se três pontos não colineares  $e'_0, e'_1, e'_2$  do conjunto de pontos e se expressam os demais pontos como  $e'_0 + \kappa(e'_1 - e'_0) + \lambda(e'_2 - e'_0)$  e se acumula um voto para cada tupla  $(i, e_0, e_1, e_2)$  na entrada  $(k,l)$  correspondente da tabela. A tupla  $(i, e_0, e_1, e_2)$  que receber mais votos indica o conjunto de pontos alvo  $T_i$  contendo o conjunto de pontos procurado. A transformação afim que mapeia  $e'_0, e'_1, e'_2$  na base vencedora  $e_0, e_1, e_2$  é assumidamente a transformação entre as duas formas. A complexidade de realizar o *matching* para um conjunto de  $n$  pontos é  $O(n)$ . A fim de obter a pose, deve-se combinar a transformação de normalização com a transformação tabelada.

## Modelo



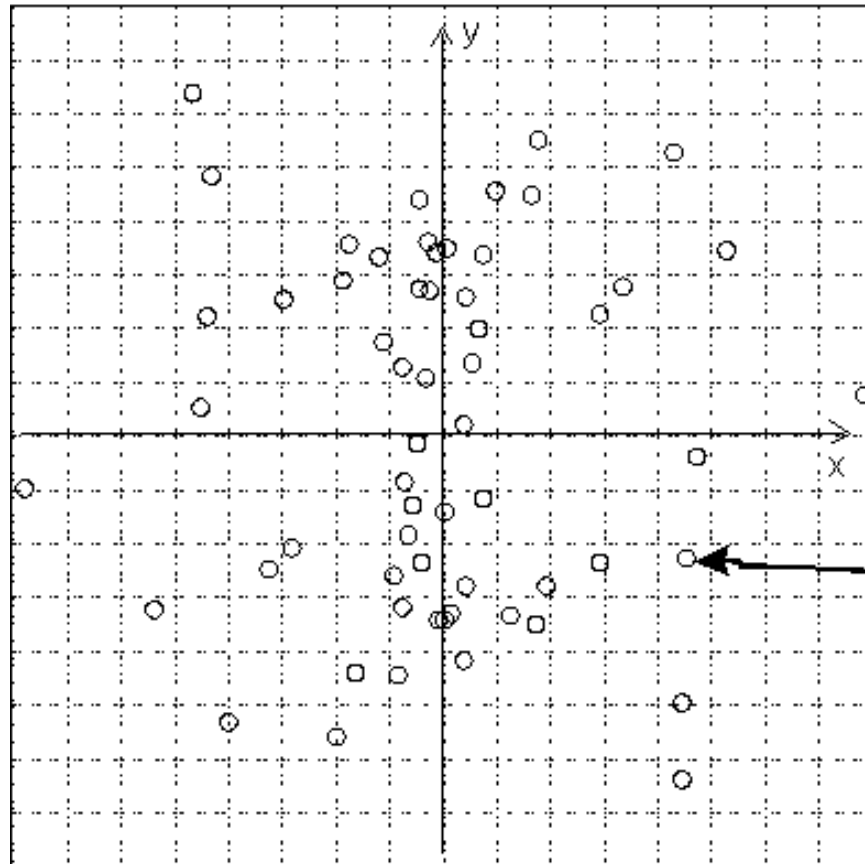
Os pontos 1 e 4 são utilizados para formar uma base. Aplicando rotação, translação e escala, esses pontos são mapeados em  $(+1/2, 0)$  e  $(-1/2, 0)$  respectivamente. Os demais pontos sofrem a mesma transformação.

## Base (1,4)



Acrescente (1,4) no final da lista dessas células da tabela hash.

## Células da tabela hash para esse modelo

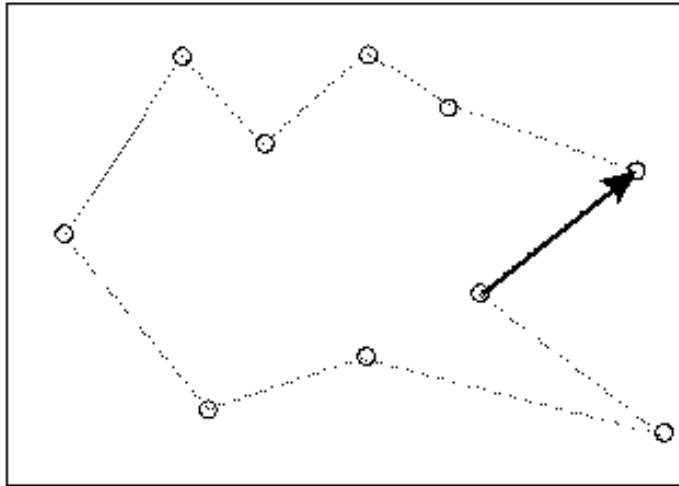


Utilizando esse procedimento para transformar os pontos do modelo para todas as possíveis bases  $(1,2), (1,3), \dots, (5,1)$  e acrescentando a identificação da base na lista de cada célula da tabela hash indexada pelas coordenadas dos pontos transformados (de acordo com essa base), é construída a tabela hash para identificação desse modelo invariante a transformações de rotação translação e escala uniforme.

Pontos do modelo transformados para cada possível base

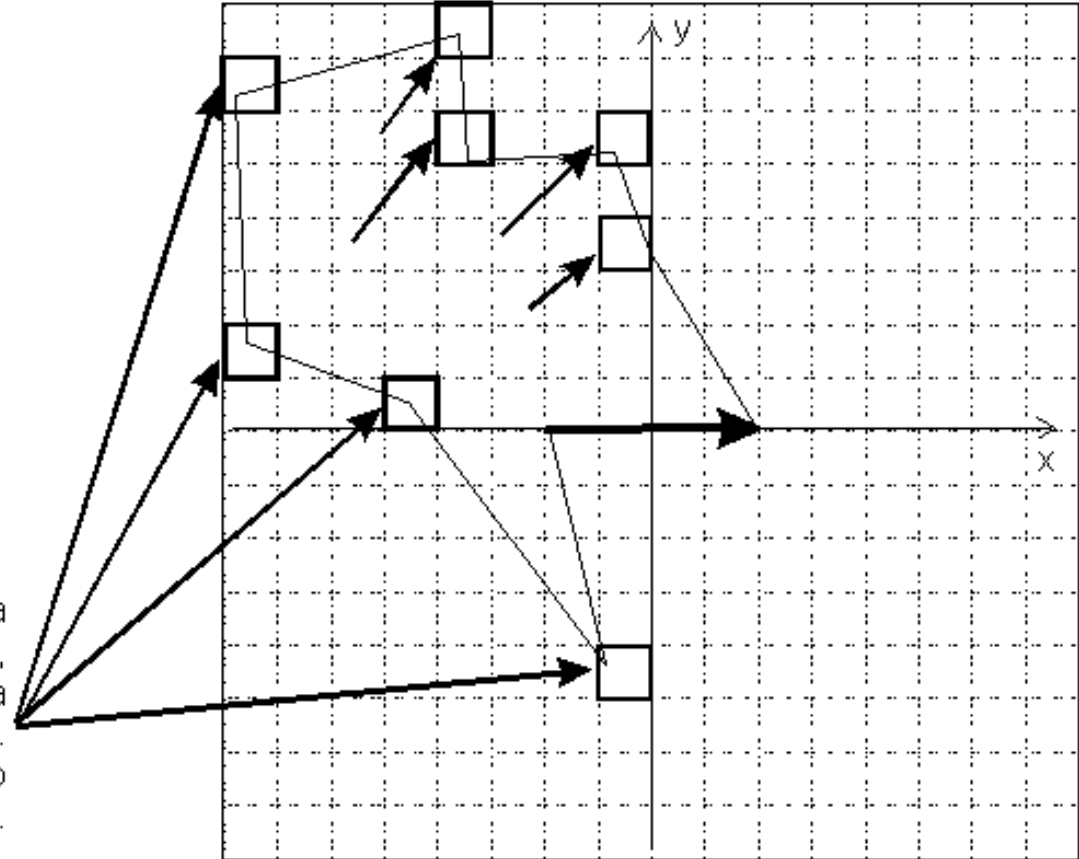
Tabela hash

# Identificação do modelo dada uma imagem



## Imagem

Some um voto para cada item nas células da tabela hash indexadas pelas feições da imagem, transformadas segundo uma base qualquer formada por duas de suas feições. No final, crie um histograma de votos considerando os itens que tem pelo menos um voto.



# Clustering de formas

## O algoritmo K-Means

Faça

Para cada centro de cluster J

Para cada amostra I

Associar I ao cluster J mais próximo

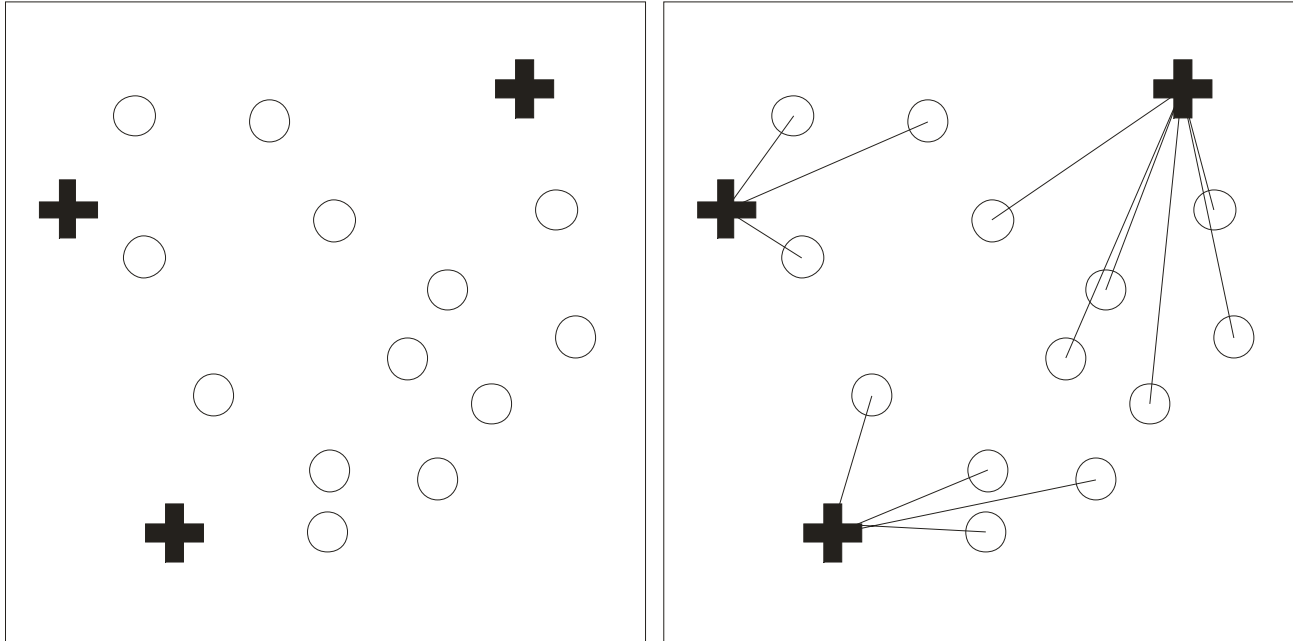
Se houver alteração

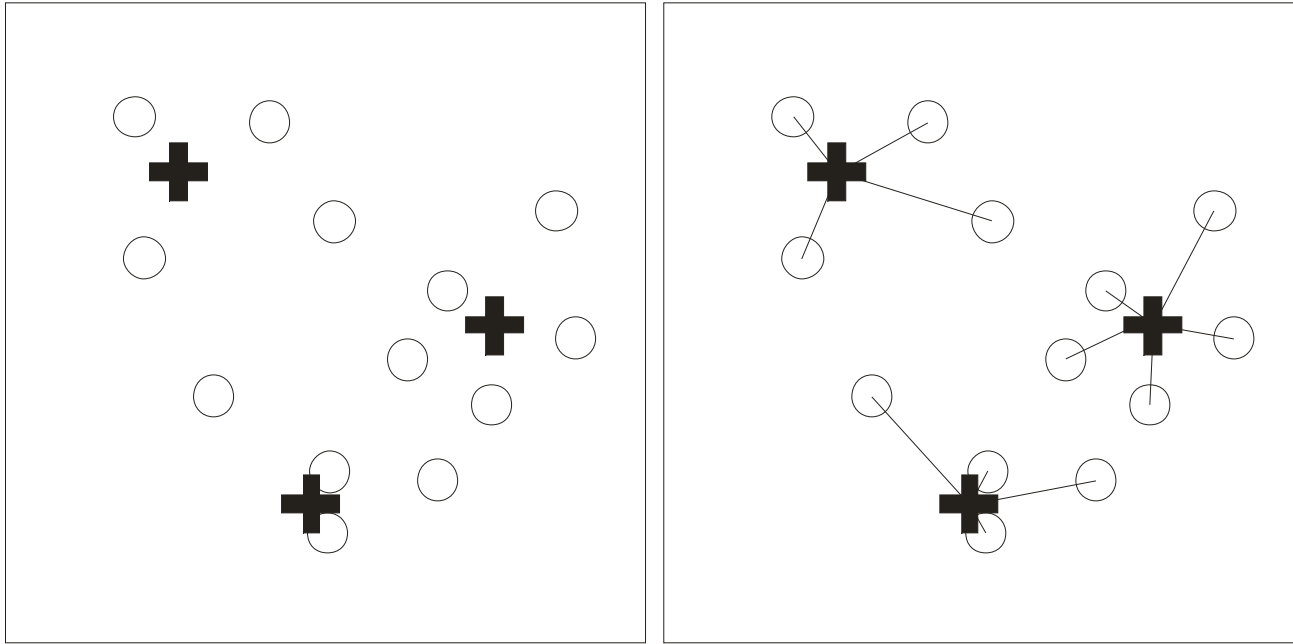
Para cada cluster J

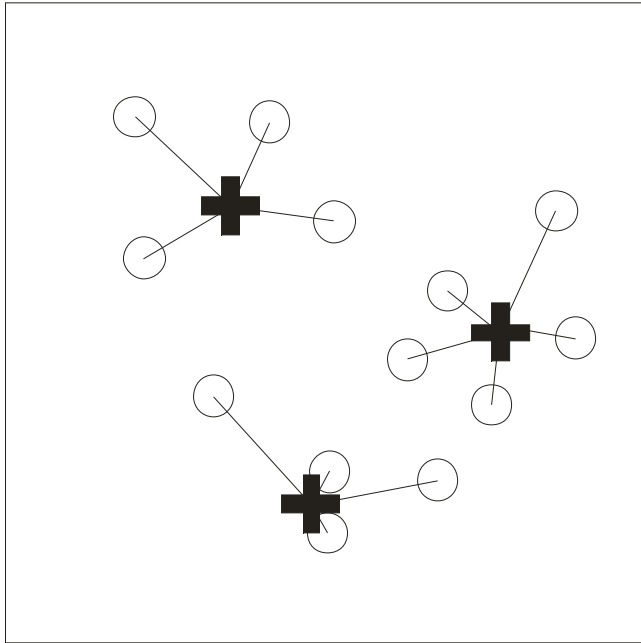
Arrume o centro do cluster para ser a média das amostras I relacionadas

Até que não ocorram mais alterações dos clusters

## Exemplo







## Fuzzy C-Means

Diferente do K-means no sentido de que cada amostra pertence em algum grau a cada cluster.

### II. PROTOTYPE-BASED FUZZY CLUSTERING

Let  $\mathbf{X} = \{\mathbf{x}_j \mid j = 1 \cdots N\}$  be a set of feature vectors in an  $n$ -dimensional feature space with coordinate-axis labels  $[x_1, x_2, \cdots, x_n]$ , where  $\mathbf{x}_j = [x_{j1}, x_{j2}, \cdots, x_{jn}]^T$ . Let  $B = (\beta_1, \cdots, \beta_C)$  represent a  $C$ -tuple of prototypes each of which characterizes one of the  $C$  clusters. Each  $\beta_i$  consists of a set of parameters. In the following, we use  $\beta_i$  to denote both cluster  $i$  and its prototype. Let  $u_{ij}$  represent the grade of membership of feature point  $\mathbf{x}_j$  in cluster  $\beta_i$ . The  $C \times N$  matrix  $\mathbf{U} = [u_{ij}]$  is called a constrained fuzzy  $C$ -partition matrix if it satisfies the following conditions [4], [25]

$$u_{ij} \in [0, 1] \text{ for all } i, \quad 0 < \sum_{j=1}^N u_{ij} < N \text{ for all } i, j \quad \text{and}$$
$$\sum_{i=1}^C u_{ij} = 1 \text{ for all } j. \quad (1)$$

The problem of fuzzily partitioning the feature vectors into  $C$  clusters can be formulated as the minimization of an objective function  $J(B, U; \mathbf{X})$  of the form

$$J(B, U; \mathbf{X}) = \sum_{i=1}^C \sum_{j=1}^N (u_{ij})^m d^2(\mathbf{x}_j, \beta_i). \quad (2)$$

In the above equation,  $m \in [1, \infty)$  is a weighting exponent called the fuzzifier, and  $d^2(\mathbf{x}_j, \beta_i)$  represents the distance from a feature point  $\mathbf{x}_j$  to the prototype  $\beta_i$ . Minimization of the objective function with respect to  $U$  subject to the constraints in (1) gives us [4]

$$\left. \begin{aligned} u_{ij} &= \frac{1}{\sum_{k=1}^C \left( \frac{d^2(\mathbf{x}_j, \beta_i)}{d^2(\mathbf{x}_j, \beta_k)} \right)^{\frac{1}{m-1}}} && \text{if } I_j = \emptyset \\ \left. \begin{aligned} u_{ij} &= 0 && i \notin I_j \\ \sum_{i \in I_j} u_{ij} &= 1 && i \in I_j \end{aligned} \right\} && \text{if } I_j \neq \emptyset \end{aligned} \right\} \quad (3)$$

where  $I_j = \{i \mid 1 \leq i \leq C, d^2(\mathbf{x}_j, \beta_i) = 0\}$ . Minimization of

---

## **PROTOTYPE-BASED FUZZY CLUSTERING**

*Fix the number of clusters  $C$ ; fix  $m, m \in [1, \infty)$ ;*

*Initialize the fuzzy  $C$ -partition  $\mathbf{U}$ ;*

**REPEAT**

*Update the parameters of each cluster prototype;*

*Update the partition matrix  $\mathbf{U}$  by using (3);*

**UNTIL**( $\|\Delta\mathbf{U}\| < \epsilon$ );

The hard (crisp) versions of these algorithms are easily obtained by changing the updating rule for the memberships so that they are always binary. In other words, one uses

$$u_{ij} = \begin{cases} 1 & \text{if } d^2(\mathbf{x}_j, \beta_i) < d^2(\mathbf{x}_j, \beta_k) \quad \text{for all } k \\ 0 & \text{otherwise.} \end{cases}$$

Ties are broken arbitrarily. In practice, the hard versions do not perform as well as their fuzzy counterparts. Due to space limitation, we do not deal with the hard algorithms in this paper.

## Distância de um ponto a um protótipo

### III. THE FUZZY $C$ QUADRIC SHELLS (FCQS) ALGORITHM

This algorithm [31], [32] assumes that each cluster resembles a hyperquadric surface, and the prototypes  $\beta_i$  consist of parameter vectors  $\mathbf{p}_i$  which define the equations of the hyperquadric surfaces. The general equation for such a hyperquadric surface is

$$\mathbf{p}_i^T \mathbf{q} = 0 \quad (7)$$

where

$$\begin{aligned} \mathbf{p}_i^T &= [p_{i1}, p_{i2}, \dots, p_{in}, p_{i(n+1)}, \dots, \\ &\quad p_{ir}, p_{i(r+1)}, p_{i(r+2)}, \dots, p_{i(r+n)}, p_{is}] \cdot \\ \mathbf{q}^T &= [x_1^2, x_2^2, \dots, x_n^2, x_1 x_2, \dots, \\ &\quad x_{n-1} x_n, x_1, x_2, \dots, x_n, 1] \end{aligned} \quad (8)$$

and  $s = \frac{n(n+1)}{2} + n + 1 = r + n + 1$ . We may define the algebraic (or residual) distance from a point  $\mathbf{x}_j$  to a prototype  $\beta_i$  as

$$d^2(\mathbf{x}_j, \beta_i) = d_{Qij}^2 = \mathbf{p}_i^T \mathbf{q}_j \mathbf{q}_j^T \mathbf{p}_i = \mathbf{p}_i^T \mathbf{M}_j \mathbf{p}_i \quad (9)$$

## Aproximação de um protótipo a um conjunto de pontos

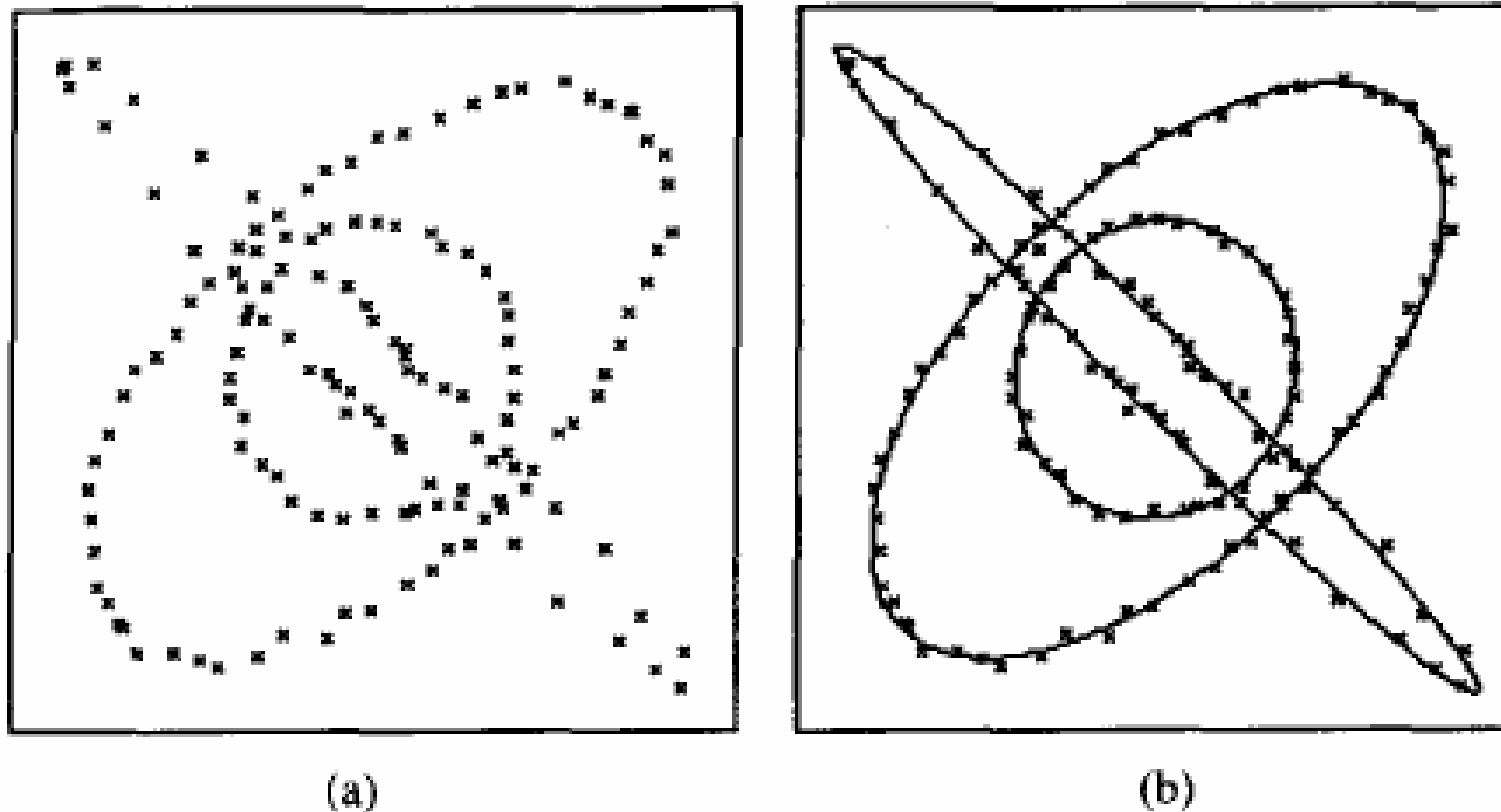


Fig. 1. (a) A data set consisting of two ellipses and a circle. (b) The prototypes found by the FCQS algorithm superimposed on the dataset.